



SPRAWOZDANIE NR OS/0435/24

Z POMIARÓW NATĘŻENIA PÓL ELEKTROMAGNETYCZNYCH

WYKONANYCH DLA CELÓW OCHRONY ŚRODOWISKA

Miejsce wykonania badania: <small>(dane uzyskane od zleceniodawcy)</small>	JRS7100B	
	37-560 Kramarzówka, dz. nr 1069, pow. jarosławski, woj. PODKARPACKIE	
Współrzędne geograficzne:	49°50'39.84"N 22°30'52.92"E	
Data wykonania pomiarów:	11.04.2024	
Data wydania sprawozdania:	12.04.2024	
Zleceniodawca:	P4 sp. z o.o. ul. Wynałazek 1 02-667 Warszawa	
Sprawozdanie wykonał:	Sprawdził:	Autoryzował:
Mateusz Maliszewski <small>Specjalista ds. analiz i wizualizacji wyników</small>	mgr inż. Maciej Konieczny <small>Kierownik Laboratorium</small>	mgr inż. Wojciech Lubiński <small>Kierownik ds. jakości</small>

1. INFORMACJE O UŻYTKOWNIKU

1.1. Zleceniodawca: P4 sp. z o.o. ul. Wynalazek 1, 02-667 Warszawa

1.2. Charakterystyka obiektu:

- **Typ obiekt:** Instalacja radiokomunikacyjna zainstalowana na wieży kratowej
- **Numer obiektu:** JRS7100B
- **Adres obiektu:** 37-560 Kramarzówka, dz. nr 1069, pow. jarosławski, woj. PODKARPACKIE
- **Współrzędne geograficzne:** 49°50'39.84"N 22°30'52.92"E

2. CHARAKTERYSTYKA ŹRÓDEŁ PEM (dane pozyskane od Klienta)

Tabela 1. Parametry systemu nadawczo-odbiorczego

Charakterystyka promieniowania				kierunkowa					
Rzeczywisty czas pracy [h/dobę]				Całodobowa 24h					
Warunki pracy				Znamionowe					
Rodzaj wytwarzanego pola				stacjonarne					
Lp.	Typ nadajnika	Antena Producent / Typ	Azymut [°]	Wysokość środku elektr. anteny [m n.p.t.]	Pasma [Mhz]	Kąt nachylenia [°]	EIRP dla anteny [W]	LON	LAT
1	RBS6xxx/2xxx/4xxx	Huawei AQU4518R24	60	53	800	0 - 10	24131	22°30'52.92"E	49°50'39.84"N
	RBS6xxx/2xxx/4xxx				1800	2 - 12		22°30'52.92"E	49°50'39.84"N
	RBS6xxx/2xxx/4xxx				2100	2 - 12		22°30'52.92"E	49°50'39.84"N
2	RBS6xxx/2xxx/4xxx	Huawei A704516R0	60	53	900	0 - 12	1995	22°30'52.92"E	49°50'39.84"N
3	RBS6xxx/2xxx/4xxx	Huawei AQU4518R24	200	53	800	0 - 10	24131	22°30'52.92"E	49°50'39.84"N
	RBS6xxx/2xxx/4xxx				1800	2 - 12		22°30'52.92"E	49°50'39.84"N
	RBS6xxx/2xxx/4xxx				2100	2 - 12		22°30'52.92"E	49°50'39.84"N
4	RBS6xxx/2xxx/4xxx	Huawei A704516R0	200	53	900	0 - 12	1995	22°30'52.92"E	49°50'39.84"N
5	RBS6xxx/2xxx/4xxx	Huawei AQU4518R24	330	53	800	0 - 10	24131	22°30'52.92"E	49°50'39.84"N
	RBS6xxx/2xxx/4xxx				1800	2 - 12		22°30'52.92"E	49°50'39.84"N
	RBS6xxx/2xxx/4xxx				2100	2 - 12		22°30'52.92"E	49°50'39.84"N
6	RBS6xxx/2xxx/4xxx	Huawei A704516R0	330	53	900	0 - 12	1995	22°30'52.92"E	49°50'39.84"N

Tabela 2. Parametry radiolinii

Charakterystyka promieniowania				kierunkowa					
Rzeczywisty czas pracy [h/dobę]				24					
Rodzaj wytwarzanego pola				stacjonarne					
Lp	Linia radiowa			Antena					
	Typ nadajnika	Częstotliwość pracy [GHz]	Moc wyjściowa [dBm]	Typ/producent	Średnica anteny [m]	Azymut [°]	Wysokość zainstal. [m]	LON	LAT
1	OPTIX RTN/HUAWEI	32	26	0.3-32(A32D03)	0,3	273	51	22°30'52.92"E	49°50'39.83"N

Inne źródła PEM: W obszarze pomiarowym badanego obiektu **nie występują** inne źródła promieniowania pola elektromagnetycznego, które w zakresie badanych częstotliwości bezpośrednio wpływają na wynik wartości mierzonej natężenia pola.

3. OPIS POMIARÓW

Cel badań: Sprawdzenie dotrzymania dopuszczalnych poziomów pól elektromagnetycznych, w otoczeniu instalacji wytwarzających takie pola.

3.1. Data oraz warunki pomiarów

Data pomiarów	Godzina		Opady	Temperatura [C]		Wilgotność [%]	
	rozpoczęcia pomiarów	zakończenia pomiarów		Minimalna	Maksymalna	Minimalna	Maksymalna
11.04.2024	17:00	18:00	Brak	14,2	15,3	61,2	62,1

3.2. Nazwiska osób wykonujących pomiary: Bartosz Piotrowski

3.3. Osoba towarzysząca: brak

3.4. Aparatura pomiarowa:

Tabela 3. Opis zestawu pomiarowego

Nazwa	Typ/model	Numer fabryczny/SN	Świadectwo wzorcowania	Zastosowanie
Szerokopasmowy miernik natężenia pola elektromagnetycznego	NBM- 520	D-2228	LWiMP/W/088/22 z dnia 19.05.2022 (Laboratorium Wzorców i Metrologii Pola Elektromagnetycznego Instytutu Telekomunikacji, Teleinformatyki i Akustyki Politechniki Wrocławskiej)	Pomiary pola elektromagnetycznego
Sonda pomiarowa pola elektrycznego	EF-9091	A-0139		
Szerokopasmowy miernik natężenia pola elektromagnetycznego	NBM- 520	D-2188		
Sonda pomiarowa pola elektrycznego	EF-0691	J-0214		
Termohigrometr	ETI 600 224-600	D22060186	LPTW/326/2022 z dnia 10.05.2022 (LPTW)	Pomiary wilgotności względnej powietrza Pomiary temperatury powietrza
Dalmierz laserowy	PLR30C	221208895	45854/1 /2022 z dnia 17.05.2022 (Laboratorium pomiarowe LABOTRONIC)	Pomiar odległości
Odbiornik GPS	Garmin GLO2	1792A-A1156/5PS066633	-	Pomiar współrzędnych geograficznych

3.5. Wyznaczenie niepewności pomiarów:

Ocenę niepewności przyjmuje się zgodnie z procedurą stosowaną w laboratorium.

Wyznaczona rozszerzona niepewność pomiaru dla współczynnika rozszerzenia $k = 2$ dla zestawu pomiarowego z pkt.3.4 w dniu pomiaru wynosi 21,46%.

3.6. Kryteria przedstawiania stwierdzeń zgodności

Niniejsze sprawozdanie zgodnie z zasadami systemu akredytacji zawiera stwierdzenia zgodności.

W przypadku badań poziomów pola elektromagnetycznego w środowisku stwierdzenie zgodności dotyczy rozstrzygnięcia, czy zmierzona wartość opisująca pole elektromagnetyczne przekracza wartość dopuszczalną dla zakresu częstotliwości, w którym pracują źródła podane w Rozporządzeniu Ministra Zdrowia z dnia 17 grudnia 2019 r. w sprawie dopuszczalnych poziomów pól elektromagnetycznych w środowisku (Dz. U. z 2019 r. poz. 2448).

3.7. Metodyka wykonania pomiarów:

Zastosowano metodę znormalizowaną w oparciu o Rozporządzenie Ministra Klimatu i Środowiska z dnia 6 maja 2022 r. zmieniające rozporządzenie w sprawie sposobów sprawdzania dotrzymania dopuszczalnych poziomów pól elektromagnetycznych w środowisku (Dz.U. 2022 poz. 1121).

3.8. Przepisy prawne:

- Ustawa z dnia 27 kwietnia 2001 r. Prawo ochrony środowiska (Dz.U. 2024 r. poz. 54).
- Rozporządzenie Ministra Zdrowia z dnia 17 grudnia 2019 r. w sprawie dopuszczalnych poziomów pól elektromagnetycznych w środowisku (Dz. U. z 2019 r. poz. 2448).
- Rozporządzenie Ministra Klimatu z dnia 17 lutego 2020 r. w sprawie sposobów sprawdzania dotrzymania dopuszczalnych poziomów pól elektromagnetycznych w środowisku Załącznik do obwieszczenia Ministra Klimatu i Środowiska z dnia 21 listopada 2022 r. (Dz. U. poz. 2630).

3.9. Opis pomiarów

Stacja bazowa JRS7100B usytuowana jest na wieży kratowej zlokalizowanej pod adresem 37-560 Kramarzówka, dz. nr 1069, pow. jarosławski, woj. PODKARPACIE. Anteny i moduły RRU zamontowane są na antenowych konstrukcjach wsporczych a urządzenia są w szafie APM zainstalowanej u podnóża wieży. W otoczeniu stacji zlokalizowana jest zabudowa jednorodzinna oraz pola uprawne. Analiza parametrów technicznych wykazała, że urządzenia nadawcze stacji pracują w paśmie częstotliwości zgodnie z tabelą 1 oraz tabelą 2. Moc wyjściowa nadajników doprowadzona jest do anten przy pomocy ekranowanych fiderów.

Pomiary w otoczeniu Stacji bazowej wykonano wzdłuż kierunków maksymalnego zasięgu oddziaływania pola elektromagnetycznego na kierunkach osi głównych wiązek anten sektorowych do odległości określonej zgodnie z wytycznymi zawartymi w instrukcji wykonywania pomiarów, podczas rzeczywistej pracy urządzeń wytwarzających pola elektromagnetyczne. Pomiary wykonano dla średniego pochylenia wiązki liczonego jako średnia arytmetyczna z minimalnej i maksymalnej wartości stosowanego lub planowanego kąta pochylenia.

Pomiary w przyjętych pionach pomiarowych wykonano w punktach położonych na wysokościach od 0,3 m do 2,0 m nad powierzchnią ziemi lub nad innymi powierzchniami, na których mogą przebywać ludzie, przyjmując za wynik pomiaru maksymalny poziom natężenie pól elektromagnetycznego.

Przy doborze pionów pomiarowych uwzględniono charakter i sposób zagospodarowania terenu otaczającego stację bazową.

3.10. Sposób identyfikacji widma częstotliwości:

Parametry stacji bazowej uzyskane od właściciela instalacji stacji bazowej.

4. WYNIKI POMIARÓW

Wyniki pomiarów ważne są jedynie dla danej konfiguracji urządzeń w dniu, w którym wykonano pomiary.

Wynik pomiaru, to maksymalna wartości chwilowa zmierzona w danym pionie pomiarowym powiększona o rozszerzoną niepewność pomiaru U dla współczynnika rozszerzenia $k = 2$ (dla poziomu ufności 95%).

Tabela 3. Dopuszczalne poziomy pól elektromagnetycznych

Parametr fizyczny Zakres częstotliwości pola elektromagnetycznego	Składowa elektryczna	Składowa magnetyczna
od 400 MHz do 2000 MHz	$1,375 \times f^{0,5}$ V/m	$0,00375 \times f^{0,5}$ A/m
Od 2 GHz do 300 GHz	61 V/m	0,16 A/m

Do wyznaczania wartości wskaźnikowych WM_E i WM_H przyjęto najniższe wartości dopuszczalne poziomów pól elektromagnetycznych w/w zakresów częstotliwości.

Tabela 4. Wyniki pomiarów

Nr pionu	Opis miejsca pomiaru	Pomiar wewnątrz pomieszczenia	Współrzędne geograficzne		Wynik poniżej progu detekcji*	E _p [V/m]	U [V/m]	E _p + U [V/m]	H [A/m]	WME	WMH	Przekroczenie wartości dopuszczalnej
			[°] E	[°] N								
1	Poziom gruntu - Główny kierunek pomiarowy anteny sektorowej azymut 60st	NIE	22,515108531	49,844608290	NIE	0,96	0,21	1,17	0,003	0,04	0,042	nie przekracza
2	Poziom gruntu - Główny kierunek pomiarowy anteny sektorowej azymut 60st	NIE	22,515971405	49,844937743	NIE	0,96	0,21	1,17	0,003	0,04	0,042	nie przekracza
3	Poziom gruntu - Główny kierunek pomiarowy anteny sektorowej azymut 60st	NIE	22,517217702	49,845412273	NIE	1,05	0,23	1,28	0,003	0,05	0,046	nie przekracza
4	Poziom gruntu - Główny kierunek pomiarowy anteny sektorowej azymut 60st	NIE	22,518539745	49,845902571	TAK	<0,80	0,18	0,98	0,003	0,04	0,035	nie przekracza
5	Poziom gruntu - Główny kierunek pomiarowy anteny sektorowej azymut 60st	NIE	22,518912554	49,846029886	TAK	<0,80	0,18	0,98	0,003	0,04	0,035	nie przekracza
6	Poziom gruntu - Główny kierunek pomiarowy anteny sektorowej azymut 200st	NIE	22,514561033	49,844257200	NIE	0,96	0,21	1,17	0,003	0,04	0,042	nie przekracza
7	Poziom gruntu - Główny kierunek pomiarowy anteny sektorowej azymut 200st	NIE	22,514188782	49,843623500	NIE	0,82	0,18	1,00	0,003	0,04	0,036	nie przekracza
8	Poziom gruntu - Główny kierunek pomiarowy anteny sektorowej azymut 200st	NIE	22,513717994	49,842787835	TAK	<0,80	0,18	0,98	0,003	0,04	0,035	nie przekracza
9	Poziom gruntu - Główny kierunek pomiarowy anteny sektorowej azymut 200st	NIE	22,513394889	49,842188808	NIE	0,96	0,21	1,17	0,003	0,04	0,042	nie przekracza
10	Poziom gruntu - Główny kierunek pomiarowy anteny sektorowej azymut 200st	NIE	22,512908583	49,841395808	NIE	0,92	0,20	1,12	0,003	0,04	0,040	nie przekracza
11	Poziom gruntu - Główny kierunek pomiarowy anteny radioliniowej azymut 273st	NIE	22,514006543	49,844451858	TAK	<0,80	0,18	0,98	0,003	0,04	0,035	nie przekracza
12	Poziom gruntu - Główny kierunek pomiarowy anteny radioliniowej azymut 273st	NIE	22,513238981	49,844472138	TAK	<0,80	0,18	0,98	0,003	0,04	0,035	nie przekracza
13	Poziom gruntu - Główny kierunek pomiarowy anteny sektorowej azymut 330st	NIE	22,514320419	49,844794971	NIE	1,09	0,24	1,33	0,004	0,05	0,048	nie przekracza
14	Poziom gruntu - Główny kierunek pomiarowy anteny sektorowej azymut 330st	NIE	22,513941723	49,845228428	TAK	<0,80	0,18	0,98	0,003	0,04	0,035	nie przekracza
15	Poziom gruntu - Główny kierunek pomiarowy anteny sektorowej azymut 330st	NIE	22,513449087	49,845761790	TAK	<0,80	0,18	0,98	0,003	0,04	0,035	nie przekracza
16	Poziom gruntu - Główny kierunek pomiarowy anteny sektorowej azymut 330st	NIE	22,512932246	49,846347122	TAK	<0,80	0,18	0,98	0,003	0,04	0,035	nie przekracza
17	Poziom gruntu - Główny kierunek pomiarowy anteny sektorowej azymut 330st	NIE	22,512314533	49,847019905	NIE	0,82	0,18	1,00	0,003	0,04	0,036	nie przekracza

Nr pionu	Opis miejsca pomiaru	Pomiar wewnątrz pomieszczenia	Współrzędne geograficzne		Wynik poniżej progu detekcji*	E_p [V/m]	U [V/m]	$E_p + U$ [V/m]	H [A/m]	WME	WMH	Przekroczenie wartości dopuszczalnej
			[°] E	[°] N								
18	Poziom gruntu - Główny kierunek pomiarowy anteny sektorowej azymut 330st	NIE	22,512142027	49,847212007	TAK	<0,80	0,18	0,98	0,003	0,04	0,035	nie przekracza
19	Poziom gruntu - pomocniczy pion pomiarowy	NIE	22,513304833	49,845636565	NIE	0,82	0,18	1,00	0,003	0,04	0,036	nie przekracza
20	Poziom gruntu - pomocniczy pion pomiarowy	NIE	22,512974839	49,845456695	TAK	<0,80	0,18	0,98	0,003	0,04	0,035	nie przekracza
21	Poziom gruntu - pomocniczy pion pomiarowy	NIE	22,512654871	49,845222267	TAK	<0,80	0,18	0,98	0,003	0,04	0,035	nie przekracza
22	Poziom gruntu - pomocniczy pion pomiarowy	NIE	22,512253883	49,844963171	TAK	<0,80	0,18	0,98	0,003	0,04	0,035	nie przekracza
23	Poziom gruntu - pomocniczy pion pomiarowy	NIE	22,513724217	49,845892085	TAK	<0,80	0,18	0,98	0,003	0,04	0,035	nie przekracza
24	Poziom gruntu - pomocniczy pion pomiarowy	NIE	22,513946779	49,845683392	NIE	0,92	0,20	1,12	0,003	0,04	0,040	nie przekracza
25	Poziom gruntu - pomocniczy pion pomiarowy	NIE	22,513958816	49,845399709	TAK	<0,80	0,18	0,98	0,003	0,04	0,035	nie przekracza
26	Poziom gruntu - pomocniczy pion pomiarowy	NIE	22,513565239	49,845242868	TAK	<0,80	0,18	0,98	0,003	0,04	0,035	nie przekracza
27	Poziom gruntu - pomocniczy pion pomiarowy	NIE	22,514416962	49,845226060	NIE	0,90	0,20	1,10	0,003	0,04	0,039	nie przekracza
28	Poziom gruntu - pomocniczy pion pomiarowy	NIE	22,513125746	49,845159756	TAK	<0,80	0,18	0,98	0,003	0,04	0,035	nie przekracza

Objaśnienia:

$$E_p: E_{poprawne} = E_{wskazane} * C_{d(E)} * C_{f(f)}$$

$E_{wskazane}$ - zmierzona maksymalna wartość chwilowa natężenia pola elektrycznego

$C_{d(E)}$ – charakterystyka dynamiczna sondy – zgodna ze świadectwem wzorcowania

$C_{f(f)}$ – charakterystyka częstotliwościowa sondy – zgodna ze świadectwem wzorcowania

H – wyznaczona wartość natężenia pola magnetycznego z uwzględnieniem współczynnika korekcyjnego oraz rozszerzonej niepewności pomiaru.

WME - wartość wskaźnikowa poziomu oddziaływania pól elektromagnetycznych dla miejsc dostępnych dla ludności dla składowej elektrycznej pola.

WMH - wartość wskaźnikowa poziomu oddziaływania pól elektromagnetycznych dla miejsc dostępnych dla ludności dla składowej magnetycznej pola.

* Wynik poniżej progu detekcji - wartość zmierzona poniżej zakresu akredytacji. Do obliczeń przyjęto wartość zgodną z dolną granicą akredytowanego zakresu pomiarowego metody.

Piony pomiarowe wewnątrz budynków oraz na tarasach/balkonach wyznaczono na podstawie przeprowadzonych obliczeń rozkładu pola elektromagnetycznego zgodnie z wewnętrznymi procedurami laboratorium.

5. WNIOSKI

Stwierdza się, iż na podstawie uzyskanych wyników pomiarów i informacji uzyskanych od operatora, w otoczeniu stacji bazowej telefonii komórkowej JRS7100B w miejscach dostępnych dla ludności, w których dokonano pomiaru, nie zostały przekroczone wartości graniczne poziomów pól elektromagnetycznych określonych w Rozporządzeniu Ministra Zdrowia z dnia 17 grudnia 2019 r. w sprawie dopuszczalnych poziomów pól elektromagnetycznych w środowisku (Dz. U. z 2019 r. poz. 2448).

Stwierdzenie zgodności zostało przedstawione na podstawie wyników badań oraz informacji uzyskanych od klienta (za które Laboratorium nie ponosi odpowiedzialności) dla instalacji opisanej w punkcie 2. Stwierdzenia zgodności dokonano na podstawie zasady podejmowania decyzji i wymagań zawartych w załączniku do Rozporządzenia Ministra Klimatu z dnia 17 lutego 2020 r. w sprawie sposobów sprawdzania dotrzymania dopuszczalnych poziomów pól elektromagnetycznych w środowisku (Dz.U. 2022 poz. 2630 z 15.12.2022r.).

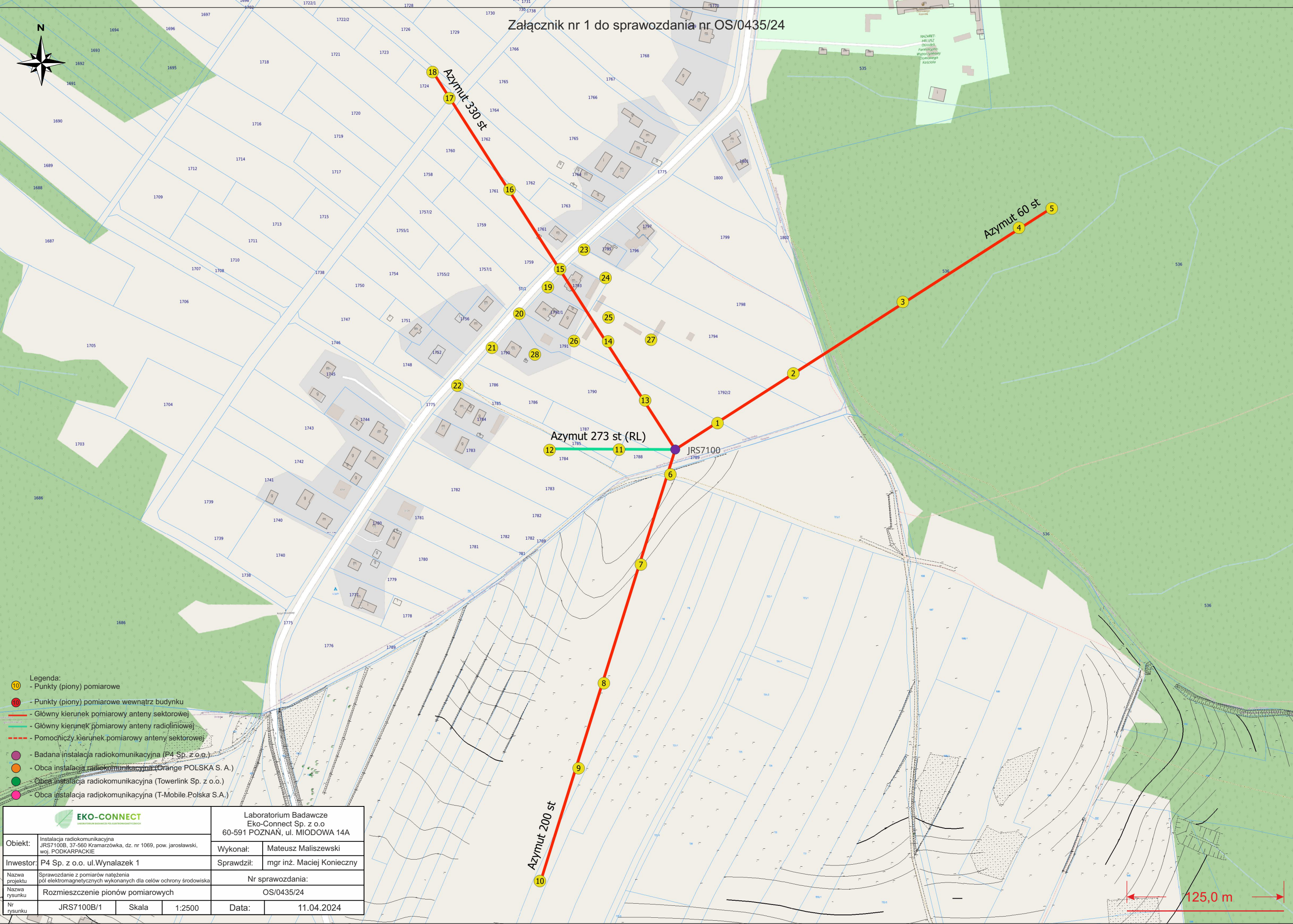
- Sprawozdanie zawiera 9 stron
- załączniki: nr 1 – mapa z rozmieszczeniem pionów pomiarowych wokół obiektu

Bez pisemnego zezwolenia laboratorium Eko-Connect sprawozdanie nie może być powielane inaczej, jak tylko w całości.


■ Otrzymują:

1. Zleceniodawca: - 1 egz.
2. a / a: 1 egz.

Koniec sprawozdania



- Legenda:
- Punkty (piony) pomiarowe
 - Punkty (piony) pomiarowe wewnątrz budynku
 - Główny kierunek pomiarowy anteny sektorowej
 - Główny kierunek pomiarowy anteny radioliniowej
 - - - Pomoocniczy kierunek pomiarowy anteny sektorowej
 - Badana instalacja radiokomunikacyjna (P4 Sp. z o.o.)
 - Obca instalacja radiokomunikacyjna (Orange POLSKA S. A.)
 - Obca instalacja radiokomunikacyjna (Towerlink Sp. z o.o.)
 - Obca instalacja radiokomunikacyjna (T-Mobile Polska S.A.)

 EKO-CONNECT <small>LABORATORIUM BADAWCZE POLI ELEKTROMAGNETYCZNYCH</small>		Laboratorium Badawcze Eko-Connect Sp. z o.o 60-591 POZNAN, ul. MIODOWA 14A	
Obiekt:	Instalacja radiokomunikacyjna JRS7100B, 37-560 Kramarzówka, dz. nr 1069, pow. jarosławski, woj. PODKARPACKIE	Wykonał:	Mateusz Maliszewski
Inwestor:	P4 Sp. z o.o. ul.Wynalazek 1	Sprawił:	mgr inż. Maciej Konieczny
Nazwa projektu	Sprawozdanie z pomiarów natężenia pól elektromagnetycznych wykonanych dla celów ochrony środowiska	Nr sprawozdania:	
Nazwa rysunku	Rozmieszczenie pionów pomiarowych	OS/0435/24	
Nr rysunku	JRS7100B/1	Skala	1:2500
		Data:	11.04.2024

125,0 m